

米의 物理的 및 热的 特性에 関한 研究*

-热的 特性에 関하여 -

Study on the Physical and Thermal Properties of Rice Kernels —Thermal Properties—

高學均 ** · 盧祥夏 ** · 鄭宗薰 **

Koh, Hak Kyun · Noh, Sang Ha · Chung, Jong Hoon

Summary

This study was intended to search the thermal properties of rice which are necessary in preventing qualitative and quantitative losses in the drying and milling processes. First, the coefficient of cubical thermal expansion of brown rice was measured, which is required for analyzing the internal stress of rice, and then theoretical thermal and moisture stresses were calculated.

The results are summarized as follows:

1. The coefficient of cubical thermal expansion of brown rice was about $2.81 \times 10^{-4} / ^\circ\text{C}$ in the temperature range of 10°C - 60°C .
2. When the shape of brown rice was assumed to be a sphere or a cylinder, maximum thermal stress due to temperature change of 20°C - 60°C was in the range of 25 - 100 kg/cm^2 . And maximum moisture stress was in the range of 450 - 650 kg/cm^2 when the drying temperature was 35°C , initial and final moisture contents of brown rice were 20% and 14% (w.b.), and the moisture diffusion coefficient was assumed to be $6.79 \times 10^{-4} \text{ cm}^2/\text{hr}$.
3. Consequently, it was concluded that crack formation in a rice kernel is mainly caused by moisture stress.

1. 緒論

현재 우리나라에서는 收穫以後 米穀 損失量이 全體 生産量의 11%이며 그 중에서도 捣精損失이 5~6%에 달하고 있다(3). 또한 統一系品種은 穀物 그 자체의 特性으로 因하여 一般系品種보다도 脊割이 쉽게 發生되어 더욱 많은 損失을 招來하고 있다.

특히 穀物의 脊割은 機械的 要因 以外에 乾燥時의 热風溫度와 乾燥速度 그리고 포장에서의 Sun-crack 과 再吸濕에 의한 穀物内部의 水分分布差異 등으로 야기되어 捣精時에 白米 全體 生産量의 20%에 달하는 碎米를 發生시키는 것으로 보고되고 있다(2). 外국의 경우, 自然乾燥을 한 原料의 碎米發生率은 8.8~15% 정도이며, 機械乾燥時에는 2% 정도로서 自然乾燥時에 碎米發生率이 훨씬 높은 것으로 보고되고 있다(1). 따라서 脱粒性이 강한 統一系品種

의 경우에는 脱粒損失과 乾燥時에 發生되는 質的 損失을 줄이기 위하여 生脫粒十人工乾燥法을 이용하는 作業体系가 더욱 劸挺되고 있다. 그러나 人工乾燥時에도 乾燥條件 및 乾燥方法에 따라 脊割이 많이 發生되고 過乾燥 現狀을 일으키는데, 이때 脊割의 主要因으로 热風溫度와 乾燥速度를 들 수 있다. 낮알의 순간적인 温度變化와 빠른 乾燥速度 即 乾燥時 갑작스런 温度上昇으로 인하여 米粒 内部에 생기는 热应力과 含水率의 变化로 생기는 水分应力들로 인하여 米粒에 脊割이 생기게 된다.

本研究의 目的是 乾燥時에 發生되는 米粒의 質的 損失을 防止하기 위하여 理論的 分析과 實驗을 통하여 米粒의 热的 및 流動學的 特性를 紛明하는데 있다. 本研究의 具体的 目的是 다음과 같다.

첫째로, 米粒의 内部应力를 理論的으로 分析하고자 玄米의 热膨脹係數를 測定한다.

* 本研究는 1983年度 產學協同財團 學術研究費에 의하여 이루어졌다.

** 서울大學校 農科大學 農工學科

둘째로, 温度와 含水率變化에 따른 内部応力들을 数值解析的으로 分析한다.

세째로, 理論的 分析을 뒷받침하고자 温度變化와 含水率變化가 脊割에 미치는 影響을 実驗的으로 研究한다.

네째로, 完全米와 乾燥過程에서 発生한 脊割米의 壓縮強度를 測定하여 揭精의 基礎的 資料를 提示하고자 한다.

위 중에서 세째와 네째 항목에 해당하는 것은 다음 學會誌에 투고할 예정이다.

2 研究史

가. 热膨脹係數

Arora(2)등은 Glass Dilatometer를 使用해서 "Standard ASTM Test D864-52 for Plastics (ASTM, 1968)"에 의하여 白米의 热膨脹係數를 測定하였으며 그 結果로 含水率이 11.8% (w.b.)인 白米의 体積热膨脹係數는 52.37°C 以下에서는 $2.403 \times 10^{-4} / ^{\circ}\text{C}$ 이고 52.37°C 以上에서는 $3.364 \times 10^{-4} / ^{\circ}\text{C}$ 였다고 報告했다. 또한 実驗에 使用된 水銀의 体積热膨脹係數의 平均值는 温度 $10\sim60^{\circ}\text{C}$ 사이에서 $1.81 \times 10^{-4} / ^{\circ}\text{C}$ 이었으나(5) ASTM D 864-52에서는 温度에 관계없이 $1.82 \times 10^{-4} / ^{\circ}\text{C}$ 로 추천하고 있다.

나. 内部應力에 의한 玄米의 脊割

穀粒의 脊割은 穀粒內의 温度와 含水率 分布差異로 인하여 發生되는 内部応力에 起因되며, 이에 關한 研究 結果는 다음과 같다.

Ekstrom(7)등은 우수수에 脊割이 생기려면 적어도 79°C 以上的 温度變化가 있어야 한다고 했고, Arora(2)등은 米穀이 乾燥될 때 理論的으로 43°C 以上的 温度變化가 있어야 脊割이 생긴다고 報告하였다. 그러나 周圍 空氣와 米粒의 温度 差異는 米粒의 含水率 정도에 따라 다르므로 温度變化는 含水率의 变化 정도에 따라 決定된다고 하였다. Kunze와 Hall(8)은 米粒이 일정 含水率을 유지하고 있는 한 17°C 의 温度變化로 脊割이 생기지 않는다고 하였으며 주로 脊割은 相對溫度와 含水率의 变化로 생긴다고 하였다. Timoshenko(11)는 球와 圓筒體의 内部溫度와 주위 空氣의 温度差에 의해서 생기는 内部応力 即 最大引張応力を 式으로 유도하였고 그 때 소요되는 時間을 算出했다. Chizhikov(4)는 乾燥條件中 乾燥溫度가 組織의 強度와 脊割에 決定의 인

影響을 미친다고 하였다. Milner와 Shellenberger(9)는 밀의 脊割은 乾燥時에 불균일한 水分分布의 差異때문에 생기는 内部応力때문이라고 하였다. Earle과 Ceaglske(6)는 마카로니 (macaroni)의 热応力은 水分応力과 組織自體의 強度에 비해서 훨씬 작다고 하였다. Shinkichi Yamaguchi(10)등은 一般系品種의 벼를 球로 假定하고 玄米의 内部応力を 理論的으로 分析하였고, 薄層乾燥에서 温度와 含水率의 独立의인 变化가 벼의 脊割에 미치는 影響을 分析한 바 있다.

3. 热應力과 水分應力에 關한 理論的 分析

理論的 分析을 위해 米粒과 關連되는 基本假定으로 米粒은 等方性 (isotropic) 的 性質을 가지며 温度와 含水率이 均一하게 变화하는 線形彈性体라 하고, 機械的 形象은 回転橢圓體에 가까우나 本研究에서는 品種에 따라 球形 (sphere) 혹은 圓筒形 (cylindrical shape) 으로 看做하였으며 初期 基準溫度와 含水率에서 内部応力を 0으로 假定하였다. 또한 温度나 含水率 变化는 단지 半徑方向으로만 일어나며 長軸에 대해 대칭이라고 생각하고 米粒内에 생기는 热応力과 水分応力を 時間과 半徑의 函数로 表示하였다. 理論的 分析에 使用된 玄米의 物性值는 表 1과 같다.

가. 热應力

热応力이란 米粒에 순간적인 温度变化가 일어날 때 米粒內의 温度 기울기에 依해 생기는 壓縮 및 引張応力を 말한다.

1) 玄米를 球形으로 假定한 경우

温度를 半徑方向 r 과 時間 t 만의 函数로 생각한다. 對稱性에 의거해 球内에는 半徑方向의 応力 σ_r 과 두개의 接線方向의 応力 σ_t 가 米粒内 温度分布에 의해 發生한다. 그리고 이들은 半徑方向의 微小부피에서 發生되는 힘의 平衡에 의하여 다음과 같이 热応力 式이 유도된다(7)

$$\sigma_r = \frac{2\alpha \cdot E}{1-\nu} \left(\frac{1}{a^3} \int_0^a T \cdot r^2 dr - \frac{1}{r^3} \int_0^r \delta T \cdot r^2 dr \right) \dots \dots (1)$$

$$\sigma_t = \frac{\alpha \cdot E}{1-\nu} \left(\frac{2}{a^3} \int_0^a T \cdot r^2 dr + \frac{1}{r^3} \int_0^r \delta T \cdot r^2 dr - T \right) \dots \dots (2)$$

여기서 半徑方向보다 長軸方向의 応力이 훨씬 더

Table 1 . Thermo-physical properties of brown rice used in stress calculation.

symbol	property	value
* a	radius	0.148 cm
(10) D	thermal diffusivity	4.5 cm ² /hr
(12) Dw	moisture diffusion coefficient	6.79 × 10 ⁻⁴ cm ² /hr (35°C)
(2) E	Young's modulus in axial direction	2.448 × 10 ⁴ kg/cm ²
* α	coefficient of linear thermal expansion	9.37 × 10 ⁻⁵ [°C] ⁻¹
(10) α _w	coefficient of linear hygroscopic expansion	0.39 [kg/kg-dry] ⁻¹
* ν	Poisson's ratio	0.3

Note 1. * : author's

2. () : reference

크므로 接線方向의 応力, σ 가 米粒의 脊割에 큰 영향을 미친다고 볼 수 있다. 그런데 式(2)에서 温度 T는 時間 t와 半徑 r의 函数이다. 即 米粒이 어떤 温度에 隨意적으로 接할 때 米粒内部의 상태는 非定常狀態(non-steady state)이다. 따라서 热의擴散이 半徑方向으로 일어난다고 보면 热擴散係數를 D 라 할 때 球狀인 米粒의 温度 T에 대한 微分方程式은 式(3)의 形態를 갖는다.

$$\frac{\partial T}{\partial t} = D \left(\frac{\partial^2 T}{\partial r^2} + \frac{2}{r} \frac{\partial T}{\partial r} \right) \quad \dots \dots \dots (3)$$

半徑方向의 变位 U를 $U = T \cdot r$ 로 놓으면

$$\frac{\partial U}{\partial t} = D \frac{\partial^2 U}{\partial r^2} \quad \dots \dots \dots (4)$$

$$U = 0, \quad r = 0, \quad t > 0 \quad \dots \dots \dots (5)$$

$$U = aT_1, \quad r = a, \quad t > 0 \quad \dots \dots \dots (6)$$

$$U = rf(r), \quad 0 < r < a, \quad t = 0 \quad \dots \dots \dots (7)$$

f(r) : 初期分布函数

여기서 T_1 은 米粒 表面의 温度이다. 米粒의 温度가 T_0 에서 T_1 으로 变化할 경우 米粒內의 温度分布即 式(3)의 解는 다음과 같다.

$$\frac{T - T_0}{T_1 - T_0} = 1 + \frac{2a}{\pi r} \sum_{n=1}^{\infty} \frac{(-1)^n}{n} \sin \frac{n\pi r}{a} e^{-D \cdot n^2 \cdot \pi^2 \cdot t / a^2} \quad \dots \dots \dots (8)$$

米粒內 温度는 時間과 半徑의 函数로써 나타나며 式(8)을 式(2)에 代入하면 接線方向의 热應力은 時間 t와 半徑 r의 函数로 表示된다 (式10).

$$\sigma = \frac{\alpha \cdot E}{1 - \nu} \left(\frac{2}{a^2} \int_0^a \left\{ T_1 + \frac{2a}{\pi r} (T_1 - T_0) \right\} \right)$$

$$\begin{aligned} & \sum_{n=1}^{\infty} \frac{(-1)^n}{n} e^{-D \cdot n^2 \cdot \pi^2 \cdot t / a^2} \cdot \\ & \quad \sin \left(\frac{n\pi r}{a} \right) \} r^2 dr + \frac{1}{r^3} \int_0^r \left\{ T_1 + \frac{2a}{\pi r} (T_1 - T_0) \right\} \\ & \sum_{n=1}^{\infty} \frac{(-1)^n}{n} e^{-D \cdot n^2 \cdot \pi^2 \cdot t / a^2} \cdot \sin \left(\frac{n\pi r}{a} \right) \} r^2 dr \\ & \quad - \left\{ T_1 + \frac{2a}{\pi r} (T_1 - T_0) \right\} \sum_{n=1}^{\infty} \frac{(-1)^n}{n} e^{-D \cdot n^2 \cdot \pi^2 \cdot t / a^2} \sin \left(\frac{n\pi r}{a} \right) \} \] \end{aligned} \quad \dots \dots \dots (10)$$

2) 玄米를 圆筒形으로 假定한 경우

統一系의 形想는 一般系와는 달리 가늘고 길므로 米粒을 圆筒形으로 假定하고 米粒內의 温度变化는 半徑方向만 존재하여 軸方向으로의 温度傾斜를 무시할 경우 球와 마찬가지로 半徑方向과 軸方向의 微小부피 平衡條件에 의해 軸方向으로 均一한 軸應力(uniform axial stress)과 半徑方向의 応力이 發生한다. 이와 같은 경우 米粒內의 応力은 軸方向의 応力이 훨씬 크게 나타나며, 米粒內의 脊割은 軸応力에 커다란 영향을 받는다. 軸方向의 힘의 0이라고 할 때 다음과 같이 軸方向의 热應力式을 얻을 수 있다. (7)

$$\sigma_z = \frac{\alpha \cdot E}{1 - \nu} \left(\frac{2}{a^2} \int_0^a T \cdot r dr - T \right) \quad \dots \dots \dots (11)$$

또한 米粒을 加熱하면 아주 짧은 時間 t에 대해 表面에서는 壓縮応力이 中心에서는 引張応力이 發生하여 米粒內에 最大応力이 式(12)와 같이 發生한다고 Timoshenko는 報告하였다.

$$\sigma_{max} = \frac{\alpha \cdot E (T_1 - T_0)}{2 (1 - \nu)} \quad \dots \dots \dots (12)$$

나. 水分應力

水分應力이란 乾燥過程에서 米粒內의 水分傾斜 (moisture gradient)에 의해 생기는 内部應力으로서 热應力과 같은 方法으로 分析될 수 있다.

첫째로 玄米를 球形으로 假定할 경우에 接線方向의 水分應力은 式(2)에서 α 대신에 線形水分膨脹係數 α_w , T 대신에 含水率 W (乾量基準, 小數)을 代入한 式(14)로부터 求할 수 있다.

$$\sigma_t = \frac{\alpha_w \cdot E}{1 - \nu} \left(\frac{2}{\alpha^3} \int_0^a W \cdot r^2 dr + \frac{1}{r^3} \int_0^r W \cdot r^2 dr - W \right) \quad \dots \dots \dots (14)$$

둘째로 玄米를 圓筒形으로 假定할 때도 應應力を 分析했을 때와 마찬가지로 다음과 같이 軸方向의 最大水分應力を 求울 수 있다.

$$\sigma_{max} = \frac{\alpha_w E (W_0 - W_1)}{2 (1 - \nu)} \quad \dots \dots \dots (15)$$

4. 材料 및 方法

米粒의 内部應力を 理論的으로 分析하는데 利用하고자 玄米의 热膨脹係數를 다음과 같이 測定하였다.

가. 供試材料

實驗에 使用된 玄米는 統一系品種인 서광으로서 常溫通風 乾燥法에 의해 乾燥되었으며 濕量基準 含水率는 12.5%이었다. 또한 100% 純度의 水銀이 實驗에 使用되었다. 實驗에 使用된 玄米의 品位는 表2와 같다.

Table 2. Specification of brown rice

Items	Observations	Remark
Variety	Seokwang	average value of 10 brown rice
Grain	Length	
Size	Width	
(mm)	Thickness	
	L/T	3.26
Moisture Content %, w. b.	12.5	

나. 測定裝置

ASTM D 864-52의 "Standard Method Of Test

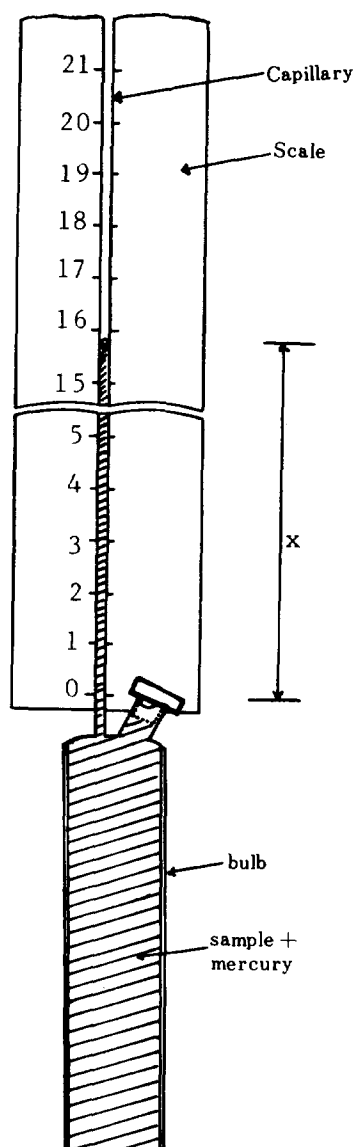


Fig. 1 Glass dilatometer

for Coefficient of Cubical Thermal Expansion of Plastics"에 의해서 硬質유리를 使用하여 그림 1과 같은 glass dilatometer를 製作하였다. 밑부분 (bulb) 은 관두께 1mm, 길이 11cm, 부피는 11cm³이고 윗부분의 毛細管 (Capillary tube)은 길이가 35cm, 断面積이 $4.55 \times 10^{-3} \text{ cm}^2$ 이었다. 또한 $0^\circ\text{C} \sim 100^\circ\text{C}$ 까지

温度調節可能한 恒温水槽가 이용되었으며 水銀의 정확한 부피를 测定하기 위해 $20\mu\text{cc}$ 의 피펫과 0.01 cc까지 읽을 수 있는 주사기를 사용하였다.

다. 測定方法

먼저 供試器機로 使用된 硬質 유리의 体積熱膨脹係數를 测定하기 위해 bulb 속에 100% 純度의 水銀을 채워 恒温水槽에 넣은 다음에 $10 \sim 60^\circ\text{C}$ 까지 물의 温度를 서서히 올려서 다음과 같은 式(16)을 利用하여 유리의 体積熱膨脹係數를 算出했다. 이때 使用된 水銀의 体積熱膨脹係數는 $1.82 \times 10^{-4}/^\circ\text{C}$ (ASTM D 864-52)로 하였다.

$$\Delta V_b = \Delta V_m - \Delta V_c \quad \dots \dots \dots (16)$$

여기서 V_b : glass bulb의 부피, cm^3

V_c : 毛細管내의 水銀부피, cm^3

V_m : bulb 속의 水銀부피, cm^3

$$V_b \cdot C_b \cdot \Delta T = V_m \cdot C_m \cdot \Delta T - A \cdot \Delta X$$

$$C_b = \frac{C_m V_m}{V_b} - \frac{A \cdot \Delta X}{V_b \cdot \Delta T} \quad \dots \dots \dots (17)$$

그結果 C_b 는 即 유리의 体積熱膨脹係數는 $0.30 \times 10^{-4}/^\circ\text{C}$ 이었다. 다음에는 bulb 속에 玄米 50粒을 넣고 100% 純度의 水銀을 채운 후 玄米와 水銀의 부피를 算出했다. 그리고 恒温水槽에 bulb를 담근 후 水槽의 温度를 5°C 간격으로 60°C 까지 서서히 增加시키면서 玄米의 热膨脹係數를 다음 式(18)을 使用하여 計算하였다.

$$\Delta V_k = \Delta V_b + \Delta V_c - \Delta V_m \quad \dots \dots \dots (18)$$

$$C_k V_k \Delta T = V_b C_b \Delta T + A \cdot \Delta X - V_m C_m \Delta T$$

$$C_k = \frac{V_b}{V_k} \cdot C_b + \frac{A \cdot \Delta X}{V_k \cdot \Delta T} - \frac{V_m C_m}{V_k}$$

여기서 V_k : 玄米의 부피, cm^3

C_k : 玄米의 体積熱膨脹係數/ $^\circ\text{C}$

C_m : 水銀의 体積熱膨脹係數/ $^\circ\text{C}$

C_b : bulb의 体積熱膨脹係數/ $^\circ\text{C}$

$V_b = 11\text{cm}^3$, $V_k = 0.825\text{cm}^3$ (50粒)

$$C_b = 0.305 \times 10^{-4}/^\circ\text{C}, C_m = 1.82 \times 10^{-4}/^\circ\text{C}$$

(ASTM D 864-52)

5. 結果 및 考察

가. 玄米의 热膨脹係數

玄米의 体積熱膨脹係數는 $10 \sim 60^\circ\text{C}$ 사이에서 거의

直線적으로 增加하였으며 4회 反復 実驗한 結果 平均值는 $2.81 \times 10^{-4}/^\circ\text{C}$ 였다 (그림 2). 이때 收縮時에도 直線으로 減小하였으며 膨脹보다 같은 温度에서 水銀柱의 높이가 全般的으로 약간 낮게 나타나고 있음을 알 수 있었다. 이는 米粒과 水銀의 膨脹과 收縮사이에서 本質적으로 나타나는 異歷現狀 (hysteresis effect)이라 할 수 있다. 그리고 이 結果는 Arora(2)가 実驗한 結果와 거의 비슷했다.

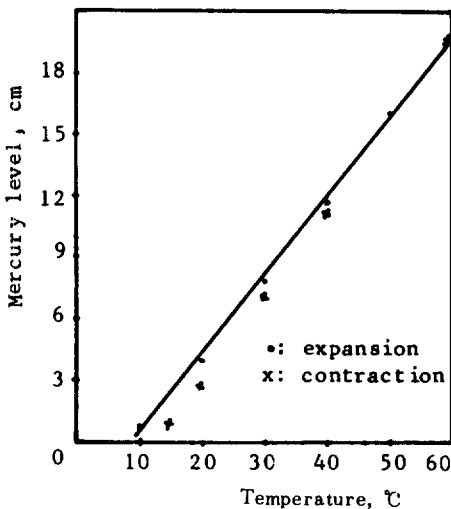


Fig. 2 Mercury level versus temperature for brown rice at 12.5 percent moisture (w.b.)

나. 热應力과 水分應力

1) 热應力

아주 짧은 時間동안에 水分의 移動은 무시할 정도로 작다고 보고 단지 温度를 時間과 半徑만의 函數로 보았을 경우 그 温度分布는 그림 3과 같다. 이 때 $5 \sim 6$ 초 時間이 경과하면 米粒 温度가 약 90% 이상 平衡에 도달하는 것을 알 수 있다. 그러나 水分 移動을 고려하고 주위 空氣速度가 $0.5 \sim 2 \text{ m/s}$ 일 때, $1 \sim 2$ 분 지나면 米粒 温度가 平衡에 도달한다고 山口信吉(10)이 보고한 바 있다. 따라서 米粒內의 温度傾斜와 平衡時間은 條件에 따라 약간 差異가 생기므로, 热應力 역시 温度傾斜가 클 경우 더 크게 나타나게 된다. 따라서 時間과 半徑만의 函數로 본 温度의 傾斜로 야기되는 热應力은 다음과 같다.

첫째로, 玄米를 球形으로 假定할 경우 表 1에 나

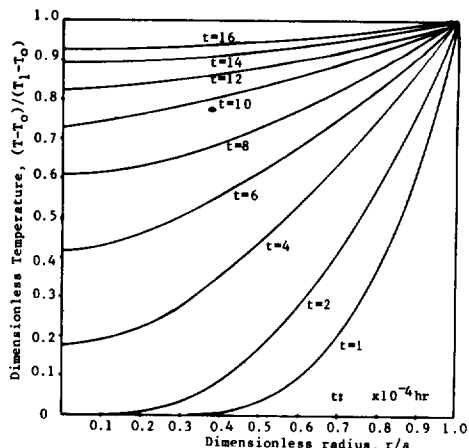


Fig. 3 Temperature distribution with time, t and dimensionless radius, r/a , in sphere.

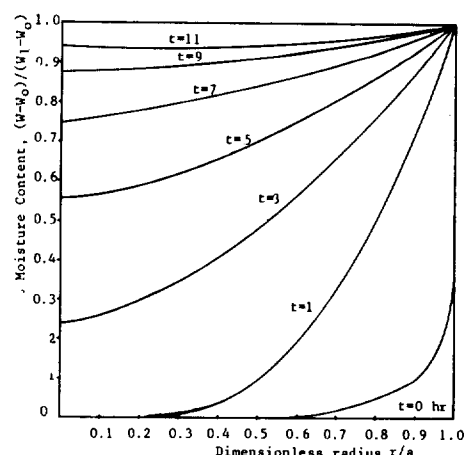


Fig. 4. Moisture distribution with time, t and dimensionless radius, r/a , in sphere.

타닌玄米의 物理的 特性值들을 式(10)에 代入하고 時間과 半徑 그리고 温度差에 따라 接線方向 応力의 近似值를 컴퓨터를 使用하여 分析하였으며, 그 結果는 그림 5와 같다.

米粒을 加熱시켰을 때 米粒 内部에는 引張應力이 表面에는 壓縮應力이 發生하는데 米粒과 같은 弹性體는 壓縮에 비해 引張에 약하므로 理論上 米粒内部에서 먼저 龟裂이 생기게 된다. 그림 5와 같이 米粒의 初期溫度를 $T_0 = 15^\circ\text{C}$, 周圍溫度 $T_1 = 35^\circ\text{C}$ 로 했을 경우, 米粒 中心에서 생기는 最大引張應力과 表面에서 생기는 最大壓縮應力이 約 25kg/cm^2 로 나타났으며 이때 소요되는 時間은 約 $4 \times 10^{-4}\text{hr}$ 이었다. 처음 約 $2 \times 10^{-4}\text{hr}$ 동안은 非正常狀態로서 温度差異로 인하여 热應力이 發生하나 그 以後에는 米粒溫度가 平衡狀態에 도달되어 热應力이 점점 사라지게 된다. 또한 $r=a/2$ 인 지점에서의 热應力은 米粒 中心에서 생기는 热應力의 절반에 해당하는 引張應力이 생기게 됨을 알 수 있다. 그리고 $T_0 = 15^\circ\text{C}$, $T_1 = 50^\circ\text{C}$ 境遇에도 米粒 中心과 表面에서 約 50kg/cm^2 의 内部應力이 發生함을 알 수 있었다. 이들 热應力들은 米粒의 最大引張強度 117kg/cm^2 에는 철션 못미치는 것으로 보아서 脫割에는 決定的인 영향을 미치지 못하고 단지 水分變化로 생기는 應力과 함께 복합적으로 龟裂에 影響을 주리라 생각된다.

둘째로, 玄米를 圓筒形으로 假定할 경우 式(12)에서 米粒內의 最大應力を 算出할 수 있다. 특히 温度變化가 20°C 일 때는 約 33kg/cm^2 의 最大热應力이 發生하여, 最大應力 σ_{\max} 가 米粒의 最大引張強度,

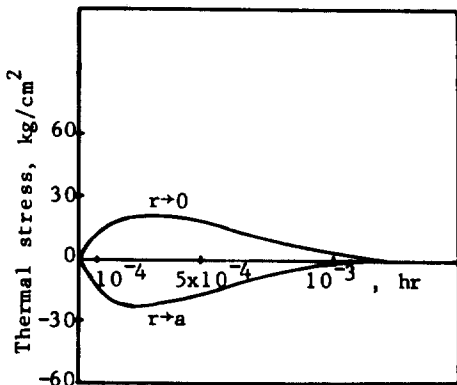


Fig. 5. Transient thermal stress due to temperature change, $T_1 = 35^\circ\text{C}$, $T_0 = 15^\circ\text{C}$ in sphere.

117kg/cm^2 일 때, 脫割이 생기는 温度变化 ΔT 는 71.4°C 로 나타났다.

따라서 米粒의 形象이 球形보다 圓筒形에 가까울수록 보다 큰 内部應力이 發生되며, 또한 米粒 自体의 強度도 球形보다 圓筒形이 작으므로 热應力에 의한 米粒의 龟裂은 圓筒形에서 보다 쉽게 發生됨을 알 수 있다. 그러나 全般的으로 热應力은 米粒의 強度에 比해 작게 나타나고 있다.

이러한 理論的 分析 結果를 볼 때, 乾燥時에 乾燥空氣 温度의 变化 폭이 작을 경우 (60°C 이내) 热應力은 米粒의 脫割에 決定的인 影響을 미치지 않음을 알 수 있다.

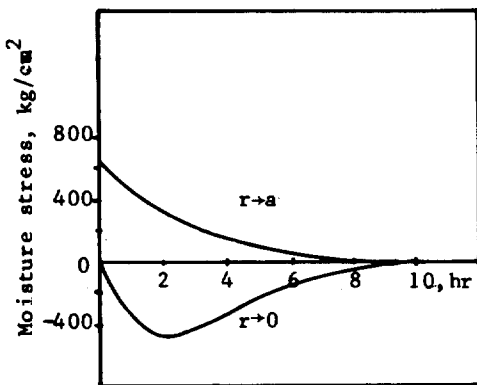


Fig. 6. Moisture stress due to moisture change during drying process, $W_0 = 0.25 \text{ kg/kg-dry solid}$, $W_1 = 0.163 \text{ kg/kg-dry solid}$, $T = 35^\circ\text{C}$ in sphere

2) 水分応力

球形에 있어서 半徑과 時間에 따른 水分分布는 그림 4와 같다. 또한 表 1에 나타난 米粒의 物理的 特性值와 $W_0 = 0.25 \text{ kg/kg-dry solid}$ (20%, w.b.) $W_1 = 0.163 \text{ kg/kg-dry solid}$ (14%, w.b.) 그리고 $D_w = 7.09 \times 10^{-4} e^{-2.85 \times 10^3/T}$ (T : 絶対溫度, $^\circ\text{K}$) 등을 式 (14)에 代入하여 콤퓨터로 数值解析한 結果, 時間과 半徑에 따른 水分応力 变化는 그림 6과 같다. 따라서 米粒을 球形이라 假定했을 경우 米粒表面 ($r \rightarrow a$) 에서 처음엔 600 kg/cm^2 以上의 引張応力이 發生한 다음 서서히 사라진다. 米粒中心部 ($r \rightarrow 0$)에서는 2 ~ 3時間이 지난 후 약 450 kg/cm^2 的 壓縮応力이 最大로 發生하며 約 10시간이 지나면 사라지게 된다. 또한 米粒을 圓筒形으로 假定할 경우에는 式(15)에 $W_0 = 0.25 \text{ kg/kg-dry solid}$, $W_1 = 0.163 \text{ kg/kg-dry solid}$ 를 代入했을 때 約 600 kg/cm^2 的 最大水分応力이 發生했다. 그리고 그림 7은 球形의 경우一定時間에서 半徑에 따른 水分応力의 变化를 나타내며 中心보다는 表面部에서 水分応力의 变化가 더 크게 나타났다. 또한 乾燥時に 發生되는 수백 kg/cm^2 的 水分応力으로 인하여 理論上 米粒 전부에 脊割이 생길 것으로 생각되어지나, 實제로는 玄米가 아닌 벼 狀態로 乾燥되므로 水分応力이 더 적게 發生되어 부분적으로만 脊割이 發生할 것으로 생각된다.

이와같이 水分变化에 의해 생기는 水分応力은 理論上 热応力에 比해 상당히 커서 米粒의 脊割에 큰 影響을 미치고 있다. 따라서 乾燥��에는 水分变化率

즉 乾燥速度를 서서히 하여 水分에 의한 收縮이나 水分廣散을 완만하게 함으로써 水分分布에 따른 米粒內의 水分応力を 줄일 수 있을 것이다.

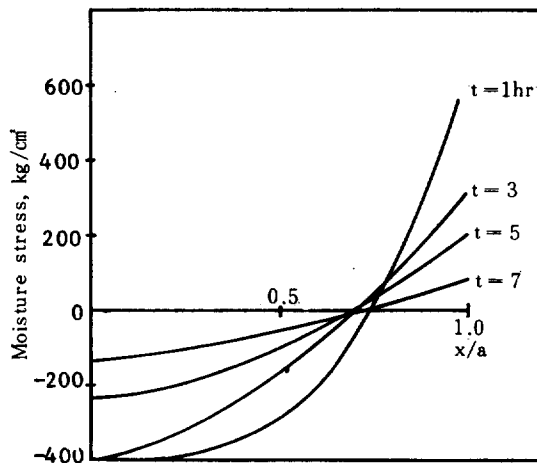


Fig. 7. Moisture stress with dimensionless radius, r/a , at various time in sphere.

마지막으로, 이들 热応力과 水分応力은 米粒의 弹性係数 E 에 큰 影響을 받고 있음을 알 수 있다. 벼의 物理的 特性(韓國農業機械学会誌 第9卷1號)의 半徑 方向 壓縮試驗에서 玄米의 弹性係数는 約 $4 \times 10^3 \text{ kg/cm}^2$ 이었는데, 軸方向의 弹性係数는 V. K. Arora의 引張試驗에서 約 $2.448 \times 10^4 \text{ kg/cm}^2$ 으로 約 6倍 정도 크게 나타나고 있다. 따라서 半徑方向보다 軸 方向으로 内部応力이 많이 發生하고 軸方向의 応力이 脊割에 큰 影響을 미치므로, 本 理論的 分析에서는 軸応力計算時에 軸方向의 弹性係数를 利用해서 分析하였다. 또한 弹性係数를 $4 \times 10^3 \text{ kg/cm}^2$ 로 하였을 때 $2.448 \times 10^4 \text{ kg/cm}^2$ 의 경우에 比해 热応力과 水分応力은 1/6 정도임을 알 수 있다.

6. 結論

現在 우리나라에서 벼收穫以後 乾燥와 磨精過程中에서 상당량의 損失이 發生되는 것으로 報告되고 있는 바, 이와같은 損失을 質的 및 量的으로 줄이기 위해 벼자체의 热的 特性를 규명하고자 하였다.

따라서 米粒의 内部応力を 理論的으로 分析하고자 玄米의 热膨脹係数를 測定하였고 热応力과 水分応力を 数值解析的으로 分析하였다. 이들 結果들을 要約하면 다음과 같다.

1. 玄米의 体積熱膨脹係數는 温度 10°C ~ 60°C 에서 約 $2.81 \times 10^{-4}/^{\circ}\text{C}$ 이었다.

2. 米粒의 形狀을 球形과 圓筒形으로 假定할 경 우, 相對的인 温度变化 20°C ~ 60°C 사이에서 理論的 인 最大 热应力은 米粒의 最大 引張強度 (117kg/cm^2) 에 둇미치는 約 $25\sim 100\text{kg/cm}^2$ 으로 나타났으며, 乾燥溫度를 35°C, 玄米의 初期 및 最終 수분함량을 각각 20%와 14% (w.b.), 水分擴散係數를 $6.79 \times 10^{-4}\text{cm}^2/\text{hr}$ 로 가정할 때, 最大 水分应力은 $450\sim 650\text{kg/cm}^2$ 이었다.

3. 따라서 理論的 分析結果, 热应力보다는 水分应力이 米粒의 脆割에 决定的인 影響을 미침을 알 수 있었다.

参考文献

1. 韓國科學技術研究所. 1972. Rice Center Plant 의 基本設計.
2. Arora, V.K. et al. 1973. Rice drying cracking versus thermal and mechanical properties. Transaction of the ASAE:320-323.
3. Chung, C.J. 1980. Post-harvest rice systems, Final report of phase II, Seoul National Univ. P.1.
4. Chizhikov, A. 1960. The effect of drying conditions on the strengths of maize kernels. Mukrom. Elevat. Prom 26(9):15-16.
5. CRC press co., The handbook of chemistry and physics, 60th ed.
6. Earle, P.L. and N.H. Ceagke. 1949. Factors causing checking of macaroni. Cereal chemistry 26(4):267-286.
7. Ekstrom, G.A., J.B. Liljedahl and R.M. Peart. 1966. Thermal expansion and tensile properties of corn kernels and their relationship to cracking during drying. Transaction of the ASAE. 9(4).
8. Kunze, O.R., C.W. Hall. 1967. Moisture adsorption characteristics of brown rice. Transaction of the ASAE. 10:448.
9. Milner, M. and J.A. Shellenberger. 1953. Physical properties of weathered wheat in relation to internal fissuring detected radiographically. Cereal chemistry 30:202-212.
10. Shinkichi et al. 1980. Experimental study on the internal stress cracking of rice kernel (part 2). Transaction of the JSAE. 42(2):251-257.
11. Timoshenko, S. Theory of Elasticity, McGraw-Hill book co., p.433-460.
12. Yutaka CHUMA et al. 1969. Measuring the moisture diffusion coefficient of some grains of an anomalous shape. Transaction of the JSAE 31(3):255.